



Российская
академия наук

ISSN 1026—3500

Известия Академии наук

Серия
химическая

2024 11
том 73
стр. 3113—3470

Журнал издается одновременно на русском («Известия Академии наук. Серия химическая») и английском («Russian Chemical Bulletin») языках. Подробную информацию о журнале, содержания номеров журнала в графической форме и аннотации статей, а также годовые предметные и авторские указатели можно получить в Интернете по адресу: <http://www.russchembull.ru/rus/>

The Journal is published in Russian and English.

The International Edition is published under the title «Russian Chemical Bulletin» by Springer:
233 Spring St. New York NY 10013 USA. Tel.: 212 460 1572. Fax: 212 647 1898.

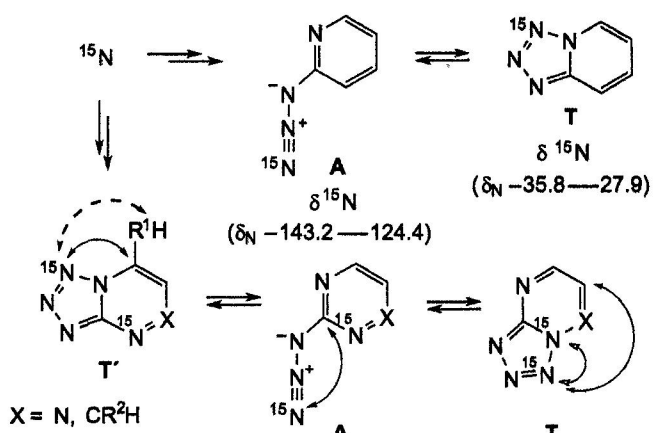
Detailed information concerning the journal contents of issues with graphical and text abstracts as well as annual subject and author indices can be found in the Internet at <http://www.russchembull.ru>

Содержание

Обзоры

¹⁵N-Меченные тетразолоазины в исследовании азидо-тетразольного равновесия

С. Л. Деев, Е. С. Шеина,
Т. С. Шестакова, В. Н. Чарушин,
О. Н. Чупахин

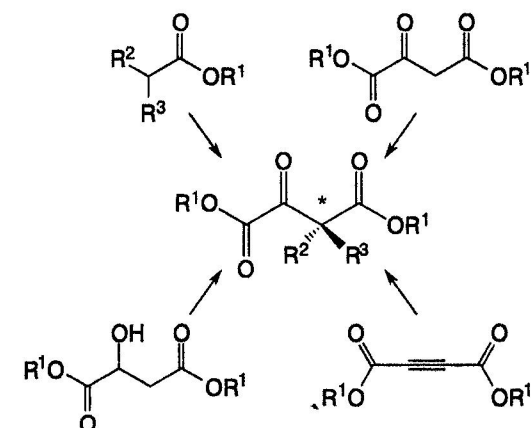


Стрелками $\longleftrightarrow J$, $\rightleftharpoons J$ и $\rightleftarrows J$ обозначены спин-спиновые взаимодействия $\text{H}-\text{N}$, $\text{C}-\text{H}$ и $\text{N}-\text{N}$ соответственно.

Изв. АН. Сер. хим., 2024, 73, № 11, 3113

Синтез оксалоуксусных эфиров

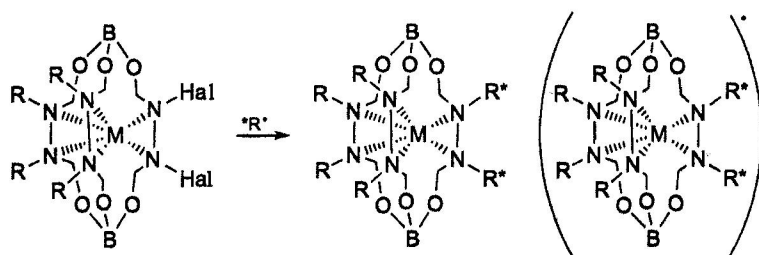
О. Н. Марков, Е. К. Белоглазкина,
А. В. Финько



Изв. АН. Сер. хим., 2024, 73, № 11, 3134

Получение и реакционная способность квазиароматических клатрохелат-центрированных радикалов и перспективы их практического использования

А. С. Чуприн

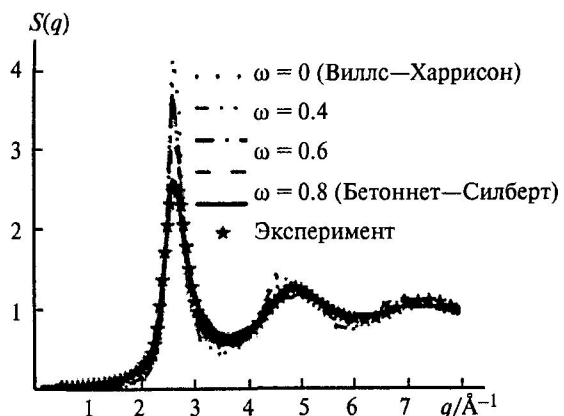


Изв. АН. Сер. хим., 2024, 73, № 11, 3176

Полные статьи

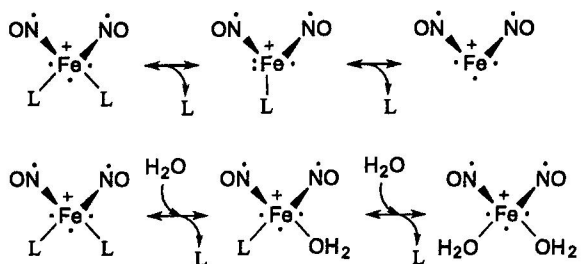
Парное взаимодействие и атомная структура в жидком золоте

Н. Э. Дубинин, Р. Е. Рыльцев

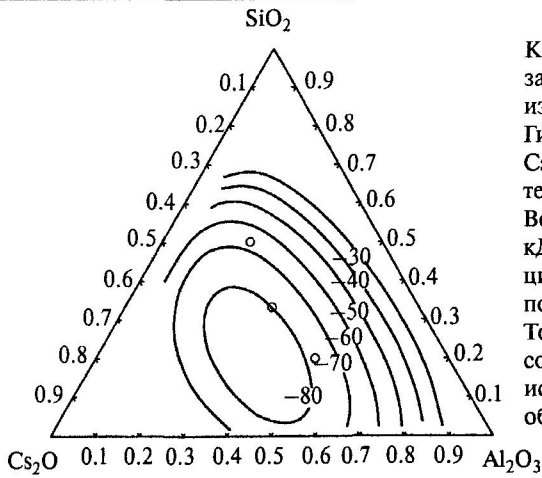


Изв. АН. Сер. хим., 2024, 73, № 11, 3190

Теоретическое исследование устойчивости динитрозильных комплексов железа(І) с тиокарбонильными лигандами

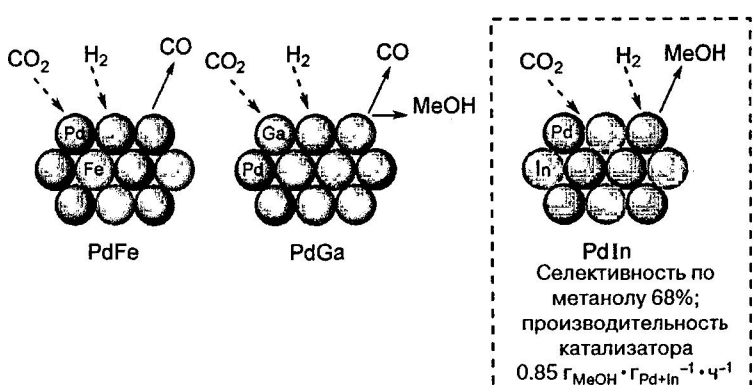
В. Б. Крапивин, В. Б. Лужков,
Н. А. Санина

Изв. АН. Сер. хим., 2024, 73, № 11, 3196

Термодинамические свойства системы $\text{Cs}_2\text{O}-\text{Al}_2\text{O}_3-\text{SiO}_2$ при высоких температурахВ. Л. Столярова, А. Л. Шилов,
С. И. Лопатин, А. В. Федорова,
В. А. Ворожцов

Концентрационная зависимость избыточной энергии Гиббса в системе $\text{Cs}_2\text{O}-\text{Al}_2\text{O}_3-\text{SiO}_2$ при температуре 1200 К. Величины $\Delta G^E/\text{кДж}\cdot\text{моль}^{-1}$ указаны цифрами на кривых постоянного уровня. Точки обозначают составы исследованных образцов.

Изв. АН. Сер. хим., 2024, 73, № 11, 3204

Интерметаллиды PdFe, PdGa и PdIn в гидрировании CO_2 в метанол: структура и катализитические свойстваА. В. Рассолов, Г. Н. Баева,
А. Р. Коляденков, А. Е. Ваулина,
А. В. Казаков, А. Ю. Стажеев

Изв. АН. Сер. хим., 2024, 73, № 11, 3215

Влияние полимерных диэлектриков на электрические и сенсорные свойства органических полевых транзисторов

А. А. Труль, В. А. Нагорный,
В. П. Гайдаржи, Е. В. Агина,
С. А. Пономаренко

Изв. АН. Сер. хим., 2024, 73, № 11, 3225

Краун-эфир-содержащее производное [1]бензотиено[3,2-*b*]-бензотиофена для рецепторных слоев органических полевых транзисторов с электролитическим затвором

Б. С. Кулешов, Е. Ю. Пойманова,
М. С. Скоротецкий, О. В. Борщев,
Г. В. Черкаев, Е. В. Агина,
С. А. Пономаренко

Изв. АН. Сер. хим., 2024, 73, № 11, 3239

3D-Ni-Редокс-активный металлорганический каркас на основе ферроценилдифосфината и 4,4'-бипиридиновых лигандов в качестве электрокатализатора для реакции восстановления кислорода в топливных элементах с протообменной мембраной

М. К. Кадиров, Г. Р. Низамеева,
Р. П. Шекуров, И. Р. Низамеев,
Э. И. Галеева, В. А. Милюков,
Ю. Г. Будникова

Изв. АН. Сер. хим., 2024, 73, № 11, 3252

Электрохимическое поведение комплекса никеля(II) с N-гетероциклическим карбеновым бисфенолятным пинцетным лигандом

З. Н. Гафуров, И. К. Михайлов,
А. А. Кагилев, И. Ф. Сахапов,
А. О. Кантюков, В. И. Морозов,
Д. А. Куликов, Е. М. Зуева,
А. Б. Добрынин, А. А. Трифонов,
Д. Г. Яхваров

Изв. АН. Сер. хим., 2024, 73, № 11, 3259

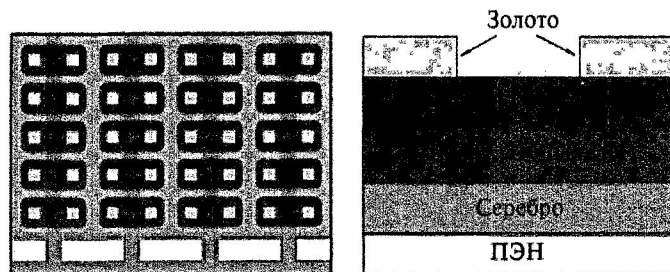
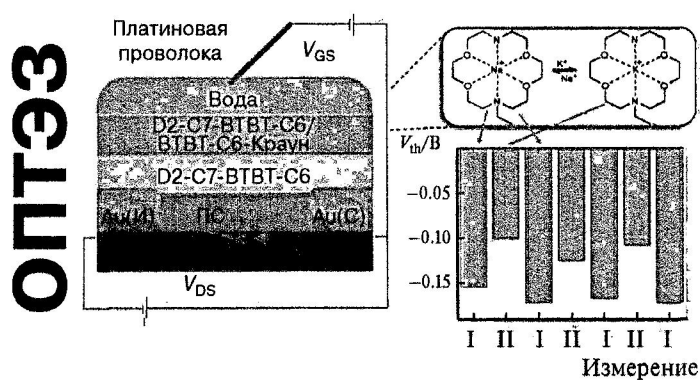
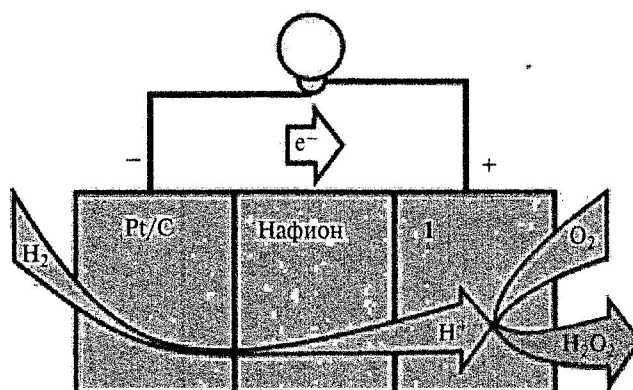


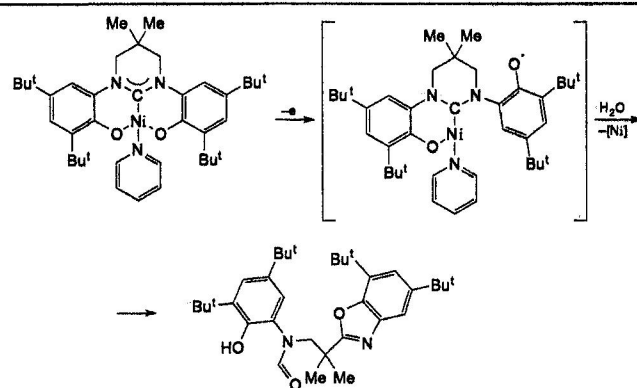
Схема устройства полимерного органического полевого транзистора для изучения сенсорных свойств устройств с различными диэлектриками (ПММА — полиметилметакрилат, ПС — полистирол; C8-BTBT-C8 — 2,7-диоктил[1]бензотиено[3,2-*b*]-[1]бензотиофен; ПЭН — полиэтиленнафталат).



ОПТЭЗ — органический полевой транзистор с электролитическим затвором, ПС — полистирол, V_{th} — пороговое напряжение.



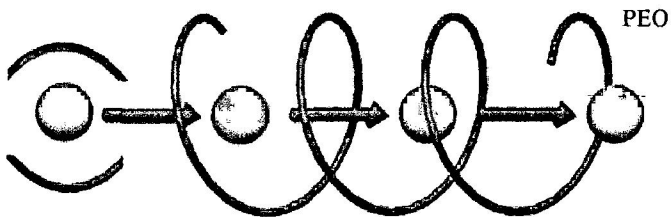
Представление процесса H_2/O_2 в мембранны-электродном блоке с разделенным мембранным Нафион анодным и катодным пространством (1 — металлорганический катодный катализатор на основе ферроценилдифосфината и 4,4'-бипиридиновых лигандов).



Низкотемпературные загущенные электролиты на основе соли $\text{LiN}(\text{SO}_2\text{CF}_3)_2$ в смешанных растворах глинов для литиевых источников тока

А. А. Слесаренко, Г. З. Тулибаева,
А. В. Юдина, Н. А. Слесаренко,
А. Ф. Шестаков, О. В. Ярмоленко

Изв. АН. Сер. хим., 2024, 73, № 11, 3267

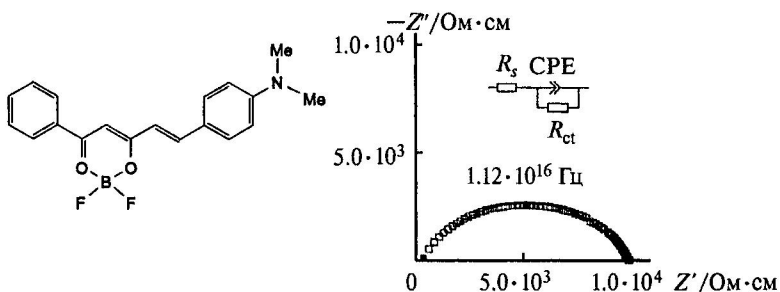


Транспорт катиона Li^+ в электролите, состоящем из 1 M раствора LiTFSI в смеси глинов в присутствии полиэтиленоксида (PEO).

Полупроводниковые и люминесцентные свойства кристаллов куркуминоида дифторида бора

А. Г. Мирочник, Е. В. Федоренко,
А. В. Герасименко, Д. Х. Шлык,
А. Ю. Белолипцев, А. Б. Подгорбунский,
А. М. Зиатдинов

Изв. АН. Сер. хим., 2024, 73, № 11, 3275

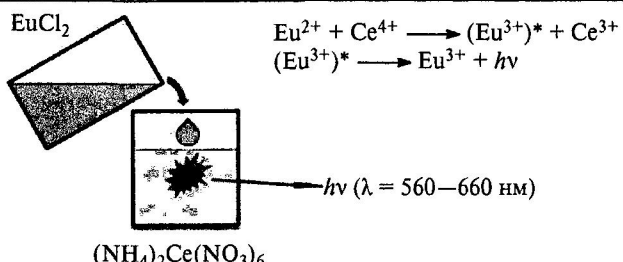


Импедансный спектр в виде диаграмм Найквиста с эквивалентной электрической схемой (R_s — последовательное сопротивление в высокочастотной области, R_{ct} — сопротивление переноса заряда, CPE (constant phase element) — элемент постоянного угла сдвига фаз).

Хемилюминесценция Eu^{3+} в водном растворе при переносе электрона от Eu^{2+} на Ce^{4+}

А. М. Абрахманов, Л. Р. Якшембетова,
К. С. Василюк, Б. М. Гареев,
Г. Л. Шарипов

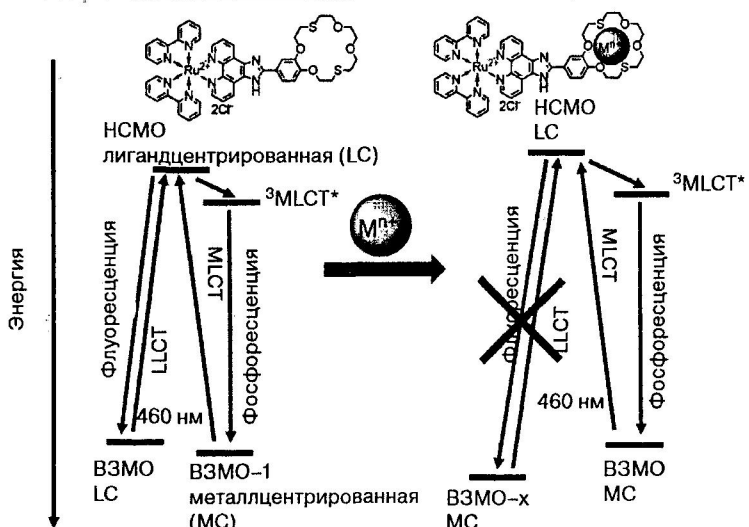
Изв. АН. Сер. хим., 2024, 73, № 11, 3285



Влияние катионов металлов на локализацию и природу возбужденного состояния в биметаллических гетеролептических комплексах рутения(II)

С. Д. Токарев, А. Ботезату,
Ю. В. Федоров, О. А. Федорова

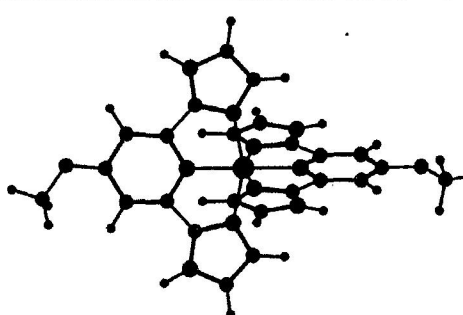
Изв. АН. Сер. хим., 2024, 73, № 11, 3291



Спин-кроссовер в новых комплексах железа(II) с 2,6-бис($1H$ -имиазол-2-ил)-4-метоксипиридином

О. Г. Шакирова, И. А. Оськина,
Е. В. Коротаев, С. А. Петров,
С. Г. Козлова, Л. С. Клюшова,
А. Я. Тихонов, Л. Г. Лавренова

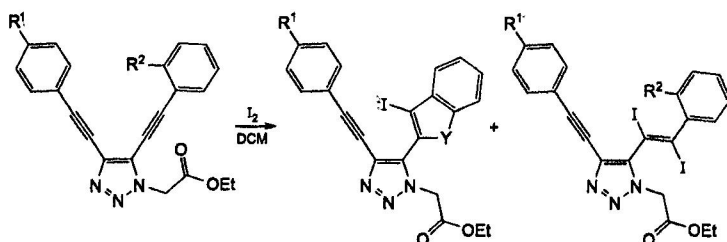
Изв. АН. Сер. хим., 2024, 73, № 11, 3304



Структура комплексного катиона железа(II) с 2,6-бис($1H$ -имиазол-2-ил)-4-метоксипиридином

Изучение иод-промотируемой циклизации 4,5-дистинил-1,2,3-триазолов для синтеза триазол-нодгетероциклических диад

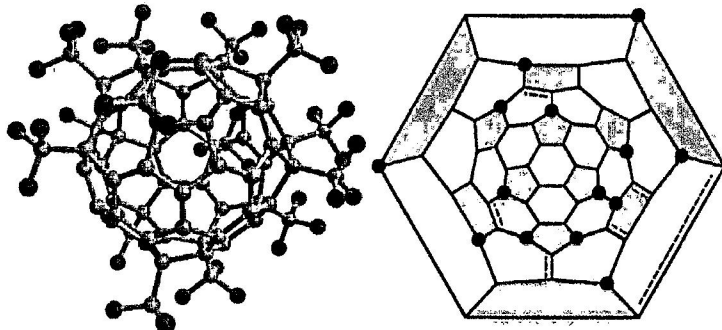
А. И. Говди, К. В. Кимеле,
И. А. Балова



Изв. АН. Сер. хим., 2024, 73, № 11, 3318

Синтез, разделение и молекулярное строение двенадцати новых изомеров трифторметилфуллерана $C_{60}(CF_3)_{14}$

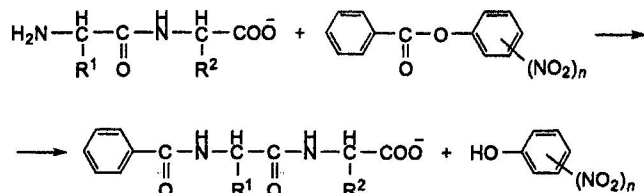
Н. Б. Тамм, В. А. Броцман,
С. И. Троянов



Изв. АН. Сер. хим., 2024, 73, № 11, 3324

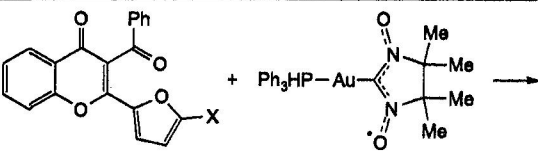
Бензоилирование дипептидов Gly-Leu и Ala-Val в водно-органических растворителях

Т. П. Кустова, Л. Б. Кочетова

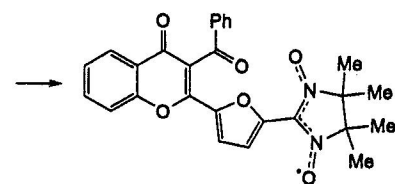


Изв. АН. Сер. хим., 2024, 73, № 11, 3335

Синтез, структура и исследование фототрансформации 3-ацил-2-гетарилхромонов с нитроксильными заместителями



К. В. Агиуллин, А. В. Степанов,
И. А. Заякин, В. Н. Яровенко,
М. М. Краюшкин, Е. В. Третьяков,
Д. И. Насырова, А. О. Айт,
Т. М. Валова



70% (Br), 47% (I)

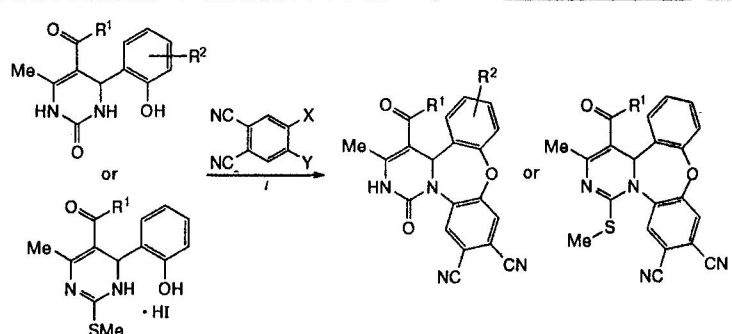
X = Br, I

Реагенты и условия: $Pd_2(dba)_3 \cdot CHCl_3$ (10 мол. %),
1,3,5,7-тетраметил-6-фенил-2,4,8-триокса-6-
фосфаадамантан ($^{Me}_8CgPPh$) (40 мол. %), толуол,
аргон.

Изв. АН. Сер. хим., 2024, 73, № 11, 3342

Получение конденсированных дibenzo[*b,f*]-пириимида[1,6-*d*][1,4]оксазепинов на основе продуктов реакции Биджинелли

В. Л. Баклагин, В. В. Бухалин,
Е. А. Смирнова, И. Г. Абрамов,
С. И. Филимонов, С. А. Ивановский,
К. Ю. Супоницкий



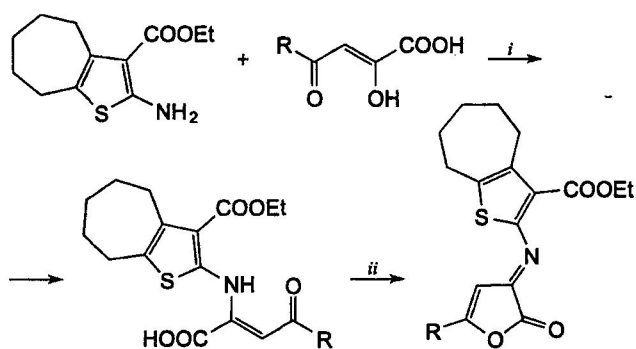
$R^1 = Me, OEt, Ph; R^2 = H, 5-NO_2, 3,5-Cl_2; X = Cl, Br; Y = NO_2, Cl$

t. ДМФА, 80–90 °C, 1.5–3 ч.

Изв. АН. Сер. хим., 2024, 73, № 11, 3352

Синтез, внутримолекулярная циклизация и антиоцидантная активность 4-(гет)арил-4-оксо-2-[3-этоксикарбонил-5,6,7,8-циклогепта[*b*]тиофен-2-ил)амино]бут-2-еновых кислот

К. Ю. Пархома, Е. Д. Давыденкова,
Р. Р. Махмудов, И. А. Горбунова,
Д. А. Шипиловских



Изв. АН. Сер. хим., 2024, 73, № 11, 3359

Реагенты и условия: *i*. MeOH, 60 °C, 30 мин; *ii*. (EtCO)₂O, 90–110 °C, 90 мин.

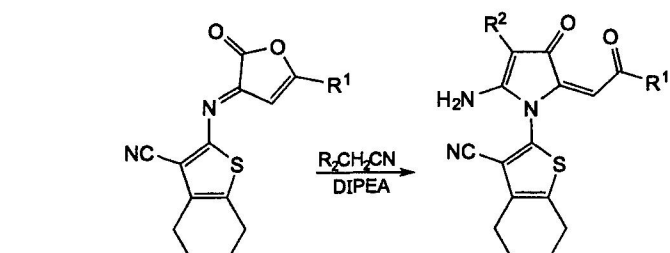
Синтез производных 2-амино-4-оксо-1-(3-циано-4,5,6,7-тетрагидробензо[*b*]тиофен-2-ил)-4,5-дигидро-1*H*-пиррол-3-карбоновых кислот и изучение их противоопухолевой активности в отношении клеточной линии меланомы B16-F10

И. А. Горбунова, А. Рогова,
К. Ю. Пархома, Д. А. Шипиловских,
Т. Е. Карпов, Р. Р. Махмудов,
А. С. Тимин, С. А. Шипиловских

Изв. АН. Сер. хим., 2024, 73, № 11, 3367

Экспериментальное и квантово-химическое исследование трансформаций биядерного нитрозильного комплекса железа с замещенным меркапториазольным лигандом в диметилсульфоксиде

Е. А. Загайнова, О. В. Покидова,
Н. С. Емельянова, Н. А. Санина

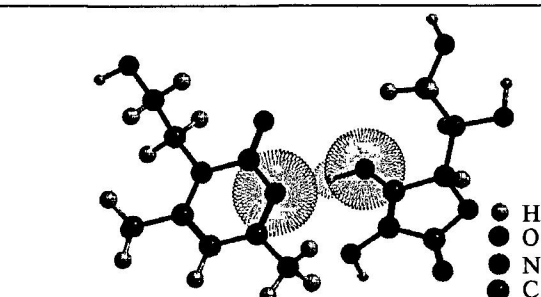


Изв. АН. Сер. хим., 2024, 73, № 11, 3372



Взаимодействие ксимедона с L-аскорбиновой кислотой в водном растворе

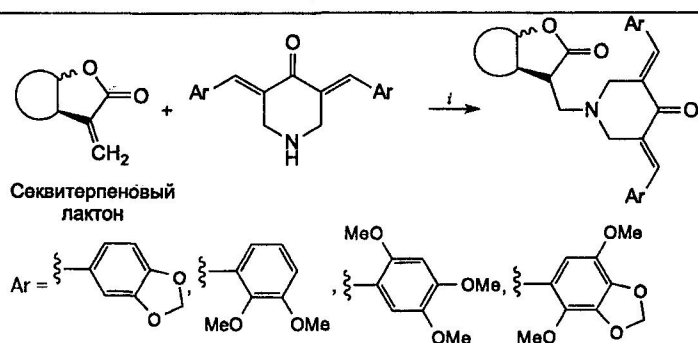
В. Ю. Иванова, В. В. Чевела,
М. С. Шашин, В. Э. Семенов,
Р. Р. Зайнуллин



Изв. АН. Сер. хим., 2024, 73, № 11, 3381

Синтез конъюгатов сесквитерпеновых лактонов с 3,5-бис(арилiden)пиперидин-4-онами – потенциальных модуляторов универсального фактора транскрипции NF-κB – в условиях межфазного катализа

О. И. Артюшин, Е. В. Шарова,
Е. В. Смирнова, А. В. Семаков,
Ю. Р. Александрова, М. Е. Неганова,
В. К. Брель

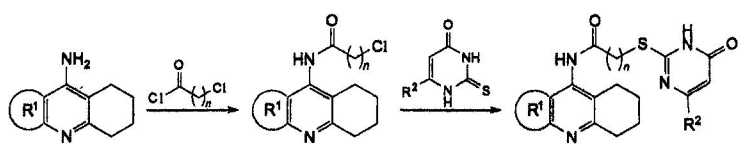


Изв. АН. Сер. хим., 2024, 73, № 11, 3389

i. K₂CO₃, Et₃BnNCl, MeCN, 80 °C, 15–20 ч.

Конъюгаты антихолинэстеразных препаратов ипилакрина и такрина с тиоурацилами: синтез и биологические свойства

М. В. Грищенко, О. Г. Худина,
Г. Ф. Махаева, Я. В. Бургарт,
Н. В. Ковалева, Е. В. Рудакова,
Н. П. Болтнева, М. В. Улитко,
В. И. Салоутин, В. Н. Чарушин

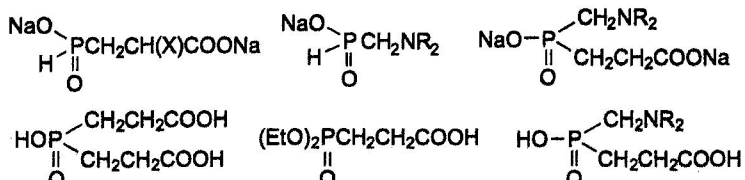


IC_{50} (АХЭ) до 10.2 ± 1.0 мкмоль · л⁻¹
 IC_{50} (АХЭ) до 2.03 ± 0.03 мкмоль · л⁻¹
Вытеснение иодида пропидия до $10.1 \pm 0.7\%$
Ингибиование самоагрегации
β-амилоида до $33.8 \pm 2.3\%$

Изв. АН. Сер. хим., 2024, 73, № 11, 3399

Синтез функционализированных фосфорорганических аналогов α- и β-аланина

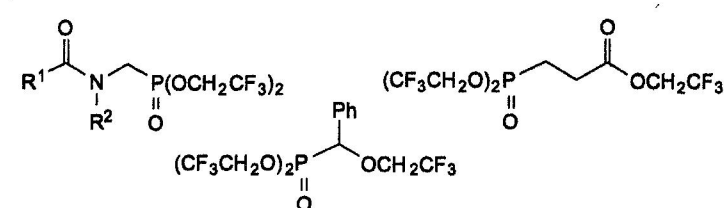
Ю. Н. Бубнов, А. А. Прищенко,
М. В. Ливанцов, О. П. Новикова,
Л. И. Ливанцева, С. В. Баранин



93–97%
X = H, NHAc

Синтез функционализированных бис(2,2,2-трифторэтокси)fosfonатов на основе трис(2,2,2-трифторэтокси)fosфита

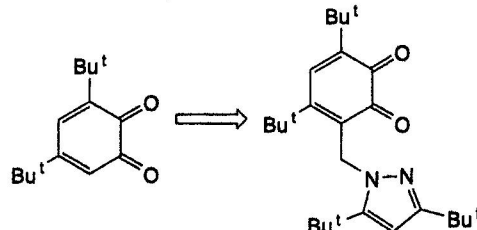
Ю. Н. Бубнов, А. А. Прищенко,
М. В. Ливанцов, О. П. Новикова,
Л. И. Ливанцева, С. В. Баранин



Изв. АН. Сер. хим., 2024, 73, № 11, 3410

Синтез и свойства нового фотоинициатора полимеризации видимым излучением на основе 3,5-ди-*трет*-бутил-*o*-бензохинона

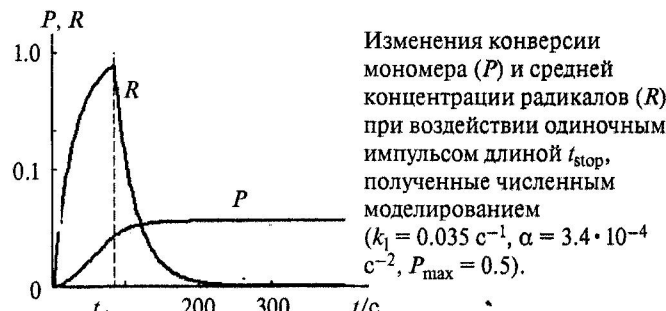
М. П. Шурыгина, М. В. Арсеньев,
Е. В. Баранов, М. А. Батенькин,
М. Ю. Захарина, Э. Р. Жиганшина,
А. Н. Конев, С. А. Чесноков



Изв. АН. Сер. хим., 2024, 73, № 11, 3429

Роль постполимеризации при фотоотверждении импульсным излучением полифункциональных мономеров

М. А. Батенькин, С. Н. Менсов

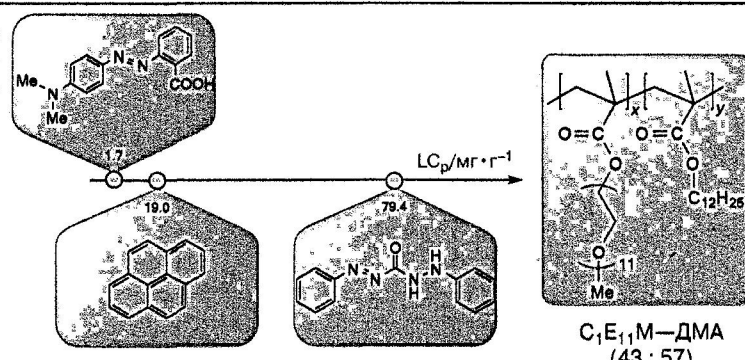


Изменения конверсии мономера (P) и средней концентрации радикалов (R) при воздействии одиночным импульсом длиной t_{stop} , полученные численным моделированием ($k_1 = 0.035$ с⁻¹, $\alpha = 3.4 \cdot 10^{-4}$ с⁻², $P_{max} = 0.5$).

Изв. АН. Сер. хим., 2024, 73, № 11, 3441

Влияние амфи菲尔ных свойств флуорофоров и красителей на их взаимодействие с молекуллярными щетками на основе олиго(этилен-гликоль)метакрилатов в водных растворах

М. В. Савинова, О. А. Казанцев,
Е. А. Лаптева, С. А. Ожогин,
Д. В. Орехов, И. Р. Арифуллин,
Д. М. Каморин, Е. Б. Спицина



$C_p = 0.1$ мас. %

LC_p — загрузочная емкость
полимерных щеток

pH 6.0

Изв. АН. Сер. хим., 2024, 73, № 11, 3450

Разработка нового композита — хитозан-графт-поли(гидроксиэтилметакрилата), содержащего лантан, для медико-биологического применения: синтез, характеристика, доставка лекарственных средств и антибактериальные свойства

Н. Гюрлер, Г. Торут,
Ф. Д. Языч, А. Караман,
Н. Карааслан Айхан

